

## 4C15

### 量子コンピュータ分子スピニンQCバス系の量子情報制御を目指した DPNO-*d*<sub>8</sub>の単結晶ESR/ENDOR法による研究

(阪市大院理<sup>1</sup>, 近大理工<sup>2</sup>, 阪大院理<sup>3</sup>, 阪大院基礎工<sup>4</sup>, JST-CREST<sup>5</sup>)

○吉野共広,<sup>1</sup> 西田辰介,<sup>1,5</sup> 中澤重顕,<sup>1,5</sup> 佐藤和信,<sup>1,5</sup> Rahimi, Robabeh,<sup>2</sup> 豊田和男,<sup>1,5</sup>  
塩見大輔,<sup>1,5</sup> 森田靖,<sup>3,5</sup> 北川勝浩,<sup>4,5</sup> 工位武治<sup>1,5</sup>

【序】現在、量子コンピュータ・量子情報処理(QC/QIP)の研究は、光子、捕捉されたイオンや核スピニンなど、様々な量子ビットを用いた系において実験的な検証が盛んに行われている。我々は、これまでパルス電子-核多重共鳴(ENDOR)法によるスピニン制御技術を用いて、固相状態の開殻系安定有機分子における電子スピニン-核スピニン系の2量子ビット間で量子エンタングルド状態を生成し、ベル状態間の変換や電子スピニン持つスピノール性の実証実験など、量子スピニン状態の制御が可能であることを示してきた[1~4]。今回、固相におけるアンサンブル系分子スピニン QC の多量子ビットへの拡張を目指し、古くから知られるジフェニルニトロキシド(DPNO-*h*<sub>10</sub>)(分子 **1**)とその誘導体(DPNO-*d*<sub>8</sub>)(分子 **2**)に注目し、分子スピニンバス系のモデル分子のとしての可能性を探った。これらの系は、ベンゾフェノン誘導体分子(Benzophenone-*d*<sub>10</sub>)(分子 **3**)に磁気的希釈された固相系試料であり、特に、核スピニンの選択的励起のために量子ビットの候補の数を絞り、設計・合成された同位体置換分子 **2** は、*A*-tensor engineering された特別な系と呼ぶこともできる。固相系における電子構造を単結晶 Cw-ESR/ENDOR 測定と密度汎関数法による理論計算を用いて解明するとともに、それらの情報をもとに、パルス ESR/ENDOR 法を用いたスピニン操作を試み、分子スピニンバス量子コンピュータへの適用性について検討した。

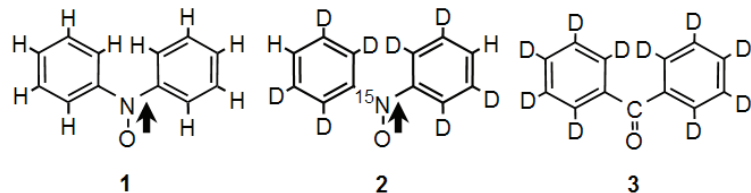


図1 安定な無置換ジフェニルニトロキシドラジカル **1** (DPNO-*h*<sub>10</sub>) と **1** のパラ位以外の <sup>1</sup>H 核と <sup>14</sup>N 核を同素体置換したジフェニルニトロキシド誘導体 **2** (DP<sup>15</sup>NO-*d*<sub>8</sub>) と全て <sup>2</sup>H(D)核に置換した重水素化ベンゾフェノン **3** (Benzophenone-*d*<sub>10</sub>)

【実験】単結晶 cw-ESR/ENDOR 測定は、ベンゾフェノン単結晶の結晶軸周りに試料を回転することにより角度依存性の測定を行った。ジフェニルニトロキシド **1** の固相系 ESR/ENDOR スペクトルは、ホスト分子 **3** の晶系を反映する角度依存性を示し、ホスト分子 **3** が分子 **1** で置き換わった希釈単結晶であることを示した[5]。分子 **1** と、*A*-tensor engineering を施した新規物質である分子 **2** についても、Cw-ESR/ENDOR スペクトルの角度依存性の詳細な解析を行い、Gaussian03 や ADF2006 ソフトウェアパッケージを用いた DFT 計算を用いて電子構造を解明した。その知見をもとに、Q バンドパルス ESR/ENDOR の実験を行った。パルス ESR による縦緩和時間(*T*<sub>1</sub>)と横緩和時間(*T*<sub>2</sub>)の測定は、それぞれ、反転回復法とスピニエコー法を用いて行った。単結晶 Cw-ESR スペクトルの測定は Bruker BioSpin 社製の E500 分光器、単結晶 Cw-ENDOR/TRIPLE スペクトルの測定は ESP300/350 分光器、パルス ESR/ENDOR の実験は E580 分光器をそれぞれ用いて行った。

【結果と考察】分子 **3** の単結晶中に磁気的に希釈された分子 **1** と分子 **2** の ENDOR スペクトルを図2に示す。これらは、静磁場 *B*<sub>0</sub> が結晶座標の *a* 軸に平行な方向で観測されたスペクトルである。これらのスペクトルは、ベンゾフェノン単結晶(P2<sub>1</sub>2<sub>1</sub>2<sub>1</sub>, Z=4)の晶系を反映していることを示している。分子 **1** の ENDOR スペクトル(図2(a))は、分子内の10個のプロトンにより、スペクトルが複雑となるため、分子内

の電子スピンを含む3量子ビット以上の量子情報操作を行うモデル系としては、核スピンを選択的に励起することが難しいだけでなく、マイクロ波パルスによるESR遷移の選択的励起も困難であった[4]。ESR/ENDORスペクトルの単純化を目指して設計、合成した分子**2**の *a* 軸方向の ENDORスペクトルを図2(b)に示す。部分的な重水素化と同位体置換した窒素核(<sup>15</sup>N)により、分子**2**の ENDORスペクトルは単純化されている。超微細結合定数の相対符号は、TRIPLEスペクトルを観測することにより決定した。表1にDFT計算の結果と併せて、実験的に決定した<sup>1</sup>H核の超微細結合テンソルの主値を示す。DFT計算には、Gaussian03ソフトウェアを用いて、ハイブリッド型汎関数(B3LYP)により非制限法で行った。基底関数には、DZVPを用いた。DFT計算による超微細結合テンソルの主値は、ENDOR/TRIPLEの実験結果とほぼ矛盾無く一致し、主値に関するBrustolon等による粉末試料による実験結果[6]より精度良く決定することができた。

量子演算・量子状態制御を実行するためには、スピン系がより長いデコヒーレンス時間(緩和時間)をもつ必要がある。分子**3**に磁気的希釈されたDPNO誘導体の濃度は、任意の希釈濃度に調整することができる。濃度の違いによる緩和時間の依存性をパルスESR法を用いて調べたところ、濃度が低いほど緩和時間T<sub>1</sub>及びT<sub>2</sub>が長くなり、スピン制御に有利であることがわかった。また、50Kにおける分子**2**の緩和時間T<sub>1</sub>はRFのゲート時間より充分に長く、電子スピン及び核スピンの制御が可能であることを確認した。現在、分子**2**にパルスENDOR技術を適用して、スピン操作の実験を行っている。当日は、分子**2**の分子・電子構造の詳細と合わせて、分子スピン量子コンピュータモデル分子としての有用性や量子情報操作の可能性について報告する。

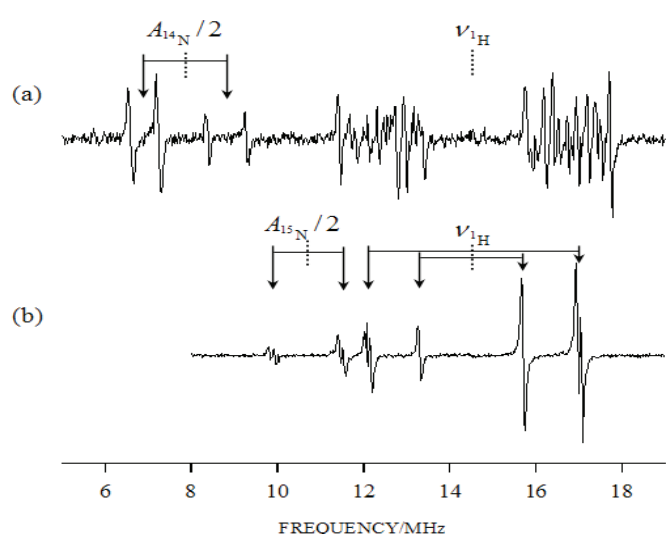


図2 静磁場  $B_0$  が *a* 軸に平行な方向での、分子**1**(a)と分子**2** (b)の Cw-ENDOR スペクトル。スペクトル(b)は、270 K、磁場 3394.85 G、マイクロ波周波数 9.54144 GHz を用いて観測された。

表1 分子**2**のパラ位の<sup>1</sup>H核の超微細結合テンソルの主値(/MHz)。(カラム左端から 2 種類の実験値(270 K)、DFT 計算と文献値[6]の値を示す。)

	実験値 (270 K)	実験値 (270 K)	DFT (DZVP)	文献値 [6]
<i>para</i> - <sup>1</sup> H	$A_{xx}$	-8.63	-8.82	-9.48
	$A_{yy}$	-5.56	-5.76	-6.63
	$A_{zz}$	-2.22	-2.34	-2.17
	$A_{iso}$	-5.47	-5.64	-6.09

## 【文献】

- [1] M. Mehring, J. Mende, and W. Scherer, *Phys. Rev. Lett.*, **90**, 153001 (2003).
- [2] R. Rahimi, K. Sato, K. Furukawa, et al., *Int. J. Quantum Inf.*, **3**, 197(2005).
- [3] K. Sato, R. Rahimi, N. Mori, et al., *Physica E*, **40**, 363 (2007).
- [4] K. Sato, S. Nakazawa, R. Rahimi, et al., *J. Mater. Chem.*, **19**, 3793 (2009).
- [5] T.-S. Lin, *J. Chem. Phys.*, **57**, 2260 (1972). Erratum, *ibid.*, **58**, 3534 (1973).
- [6] A. L. Maniero, M. Brustolon, *J. Chem. Soc., Faraday Trans. 1*, **84**(8), 2875(1988).